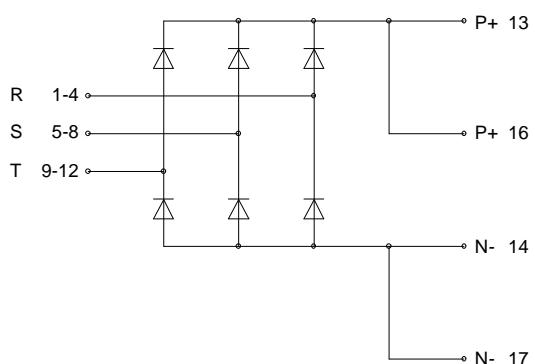
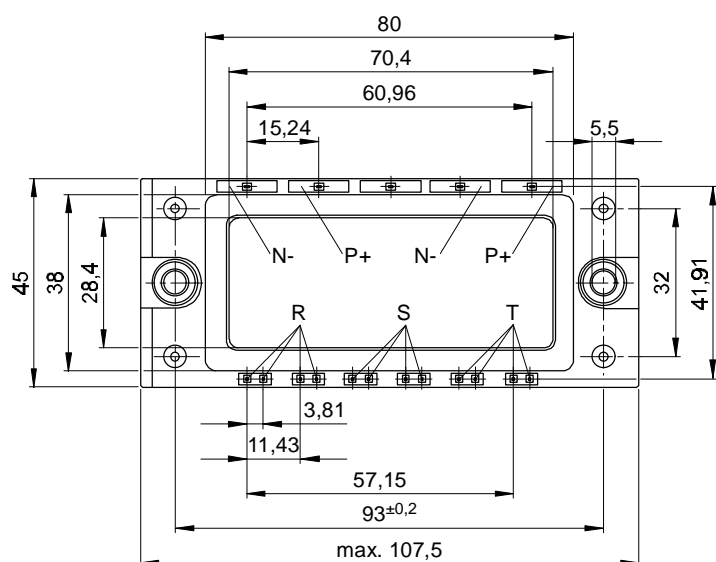
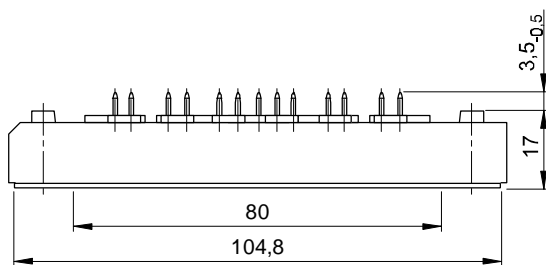




European Power-
Semiconductor and
Electronics Company

Marketing Information DD B6U 144 N 10...16 (ECONO)



DD B6U 144 N 10...16 (ECONO)

Elektrische Eigenschaften / Electrical properties

Höchstzulässige Werte / Maximum rated values

Periodische Spitzensperrspannung repetitive peak reverse voltage	$T_{vj} = -40^\circ\text{C} \dots T_{vj\ max}$	V_{RRM}	1000, 1200 V 1400, 1600 V
Stoßspitzensperrspannung non-repetitive peak reverse voltage	$T_{vj} = +25^\circ\text{C} \dots T_{vj\ max}$	V_{RSM}	1100, 1300 V 1500, 1700 V
Durchlaßstrom-Grenzeffektivwert (pro Element) RMS forward current (per chip)		I_{FRMSM}	100 A
Ausgangsstrom output current	$T_C = 100^\circ\text{C}$ $T_C = 84^\circ\text{C}$ $T_A = 45^\circ\text{C}, KP\ 0,5\ S$ $T_A = 45^\circ\text{C}, KP\ 0,33\ S$ $T_A = 35^\circ\text{C}, KP\ 0,41\ S (V_L = 45\text{V})$ $T_A = 35^\circ\text{C}, KP\ 0,33\ S (V_L = 90\text{V})$	I_d	145 A 173 A 71 A 97 A 153 A 173 A
Stoßstrom-Grenzwert surge forward current	$T_{vj} = 25^\circ\text{C}, t_p = 10\text{ms}$ $T_{vj} = T_{vj\ max}, t_p = 10\text{ms}$	I_{FSM}	1200 A 1000 A
Grenzlastintegral I^2t -value	$T_{vj} = 25^\circ\text{C}, t_p = 10\text{ms}$ $T_{vj} = T_{vj\ max}, t_p = 10\text{ms}$	I^2t	7200 A ² s 5000 A ² s

Charakteristische Werte / Characteristic values

Durchlaßspannung forward voltage	$T_{vj} = T_{vj\ max}, i_F = 150\text{A}$	V_F	max.	1,65 V
Schleusenspannung threshold voltage	$T_{vj} = T_{vj\ max}$	$V_{(TO)}$		0,75 V
Ersatzwiderstand forward slope resistance	$T_{vj} = T_{vj\ max}$	r_T		3,1 mΩ
Sperrstrom reverse current	$T_{vj} = T_{vj\ max}, V_R = V_{RRM}$	i_R	max.	5 mA
Isolations-Prüfspannung insulation test voltage	RMS, f = 50Hz, t = 1min	V_{ISOL}		2,5 kV
	RMS, f = 50Hz, t = 1sec			3,0 kV

Thermische Eigenschaften / Thermal properties

Innerer Wärmewiderstand thermal resistance, junction to case	pro Modul / per module, $\Theta = 120^\circ\text{rect}$ pro Element / per chip, $\Theta = 120^\circ\text{rect}$ pro Modul / per module, DC pro Element / per chip, DC	R_{thJC}	max. max. max. max.	0,148 °C/W 0,890 °C/W 0,167 °C/W 0,700 °C/W
Übergangs-Wärmewiderstand thermal resistance, case to heatsink	pro Modul / per module pro Element / per chip	R_{thICK}	max. max.	0,033 °C/W 0,200 °C/W
Höchstzul. Sperrsichttemp. max. junction temperature	$T_{vi\ max}$			150 °C
Betriebstemperatur operating temperature	T_{con}			-40...+150 °C
Lagertemperatur storage temperature	T_{sta}			-40...+150 °C

Mechanische Eigenschaften / Mechanical properties

Gehäuse, siehe Anlage case, see appendix				
Si-Elemente mit Lötkontakt, glaspassiviert Si-pellets with soldered contact, glass-passivated				
Innere Isolation internal insulation				Al_2O_3
Drehmom.f.mech. Befest. mounting torque	Toleranz / tolerance ±15%	M1		4 Nm
Drehmom. f. el. Anschlüsse terminal connection torque		G	typ.	185 g
Gewicht weight				12,5 mm
Kriechstrecke creepage distance	f = 50Hz			50 m/s ²
Schwingfestigkeit vibration resistance	f = 50Hz			50 m/s ²

Kühlkörper / heatsinks :

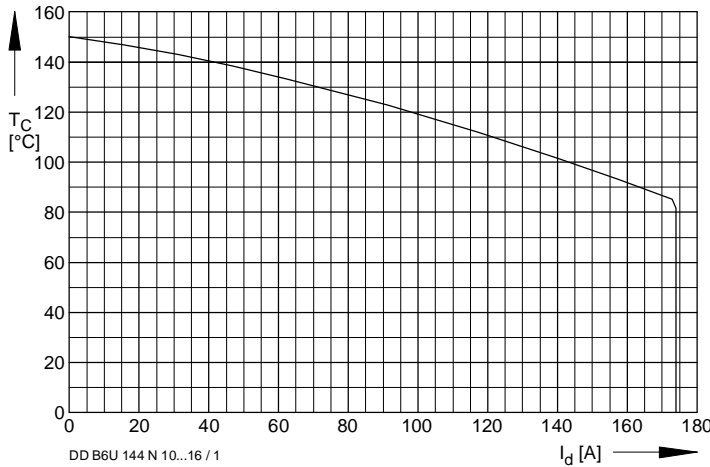
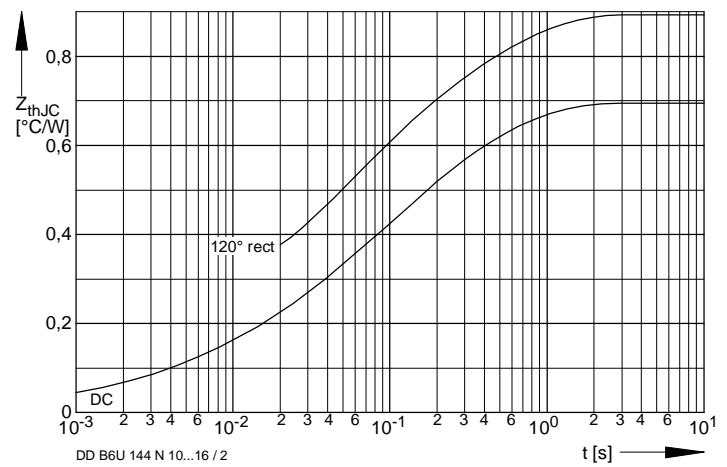


Bild / Fig. 1

Höchstzulässige Gehäusetemperatur / Maximum allowable case temperature
 $T_C = f(I_d)$



Analytische Elemente des transienten Wärmewiderstandes Z_{thJC} pro Zweig für DC
Analytical elements of transient thermal impedance Z_{thJC} per arm for DC

Pos. n	1	2	3	4
$R_{thn} [°C/W]$	0,35500	0,24500	0,04100	0,05500
$\tau_n [s]$	0,30200	0,03780	0,00900	0,00109

Analytische Funktion / Analytical function:

$$Z_{thJC} = \sum_{n=1}^{n_{max}} R_{thn} (1 - e^{-\frac{t}{\tau_n}})$$